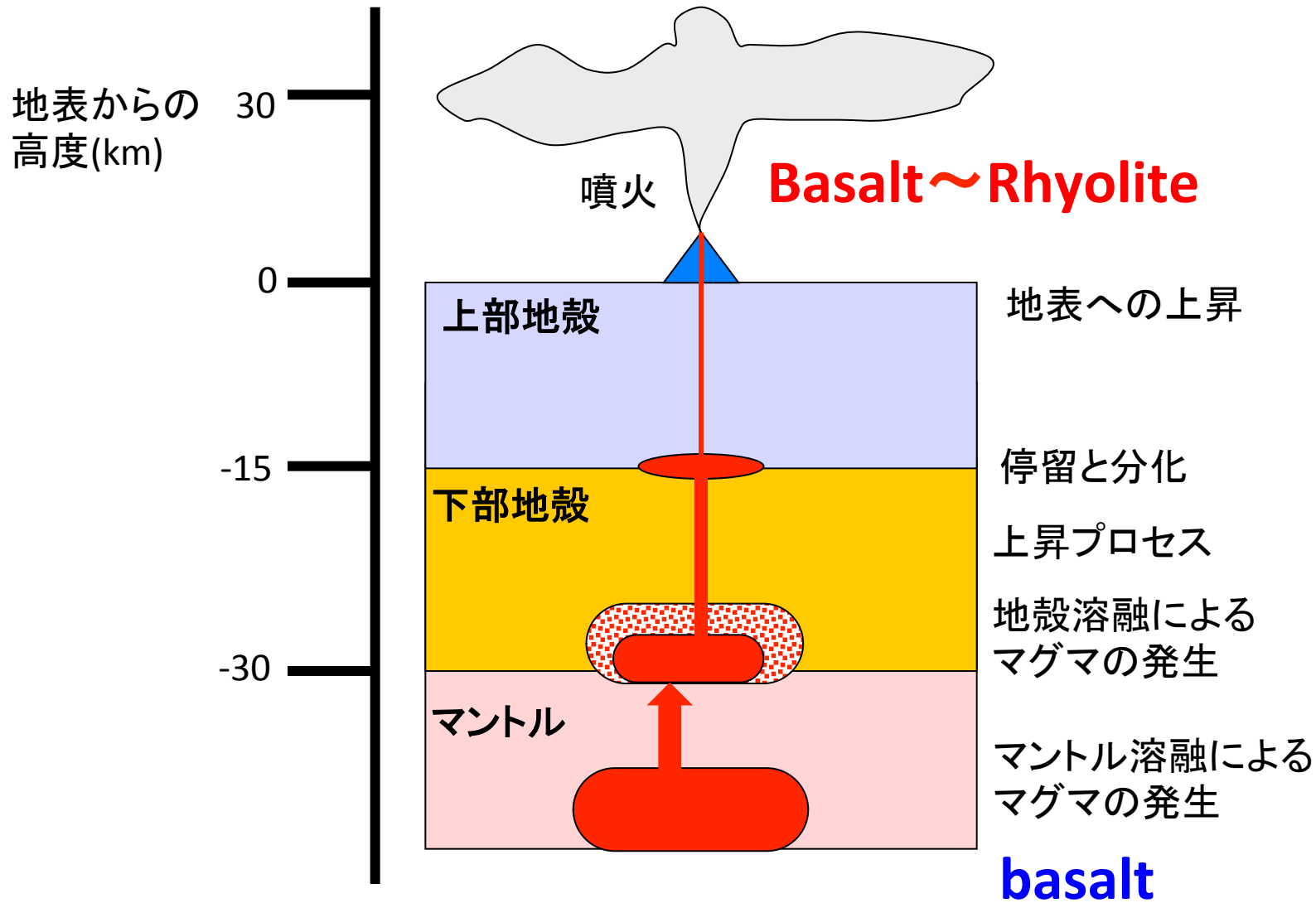


マグマ溜りにおける 二重拡散対流

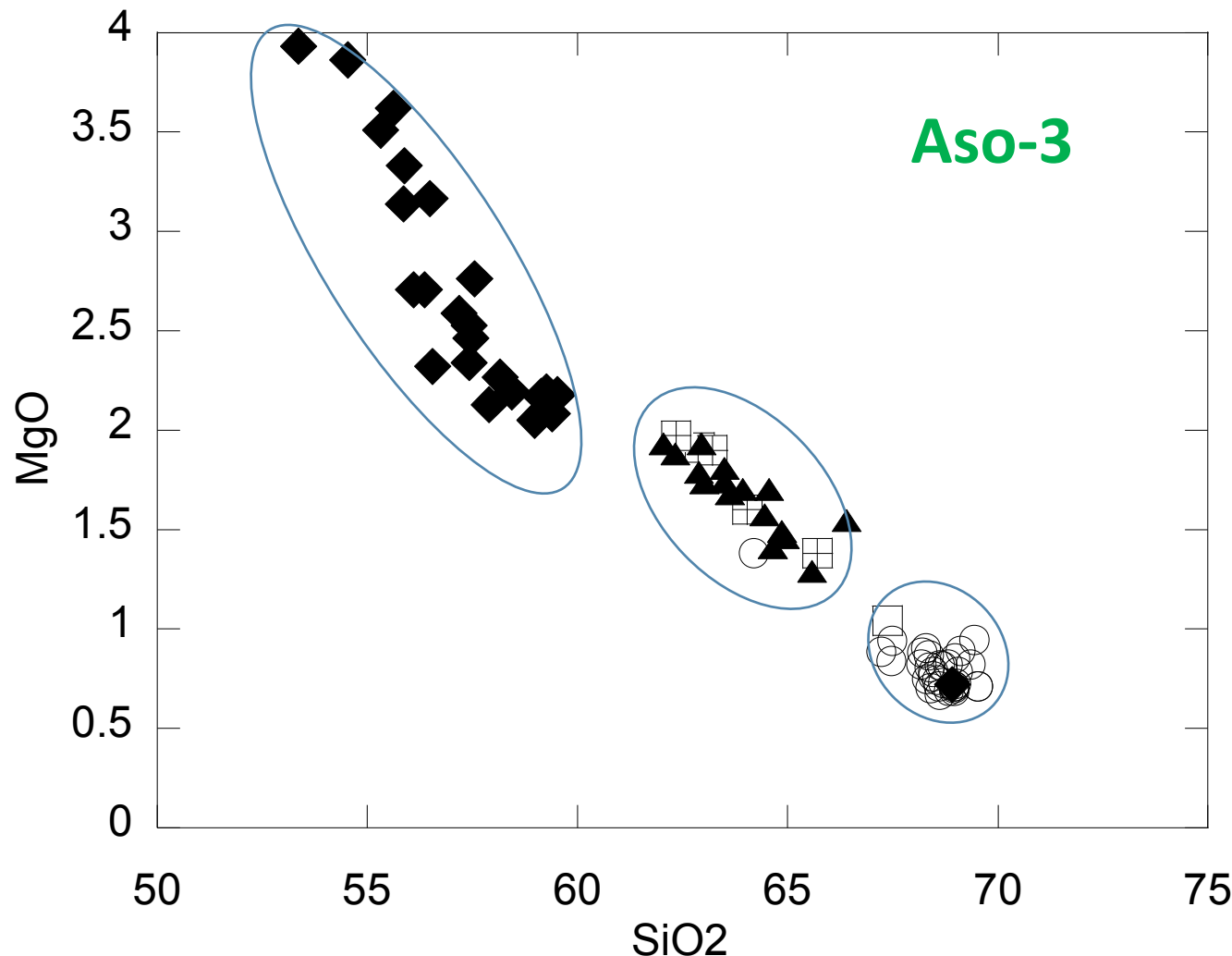
金子 克哉

京都大学 大学院人間・環境学研究科

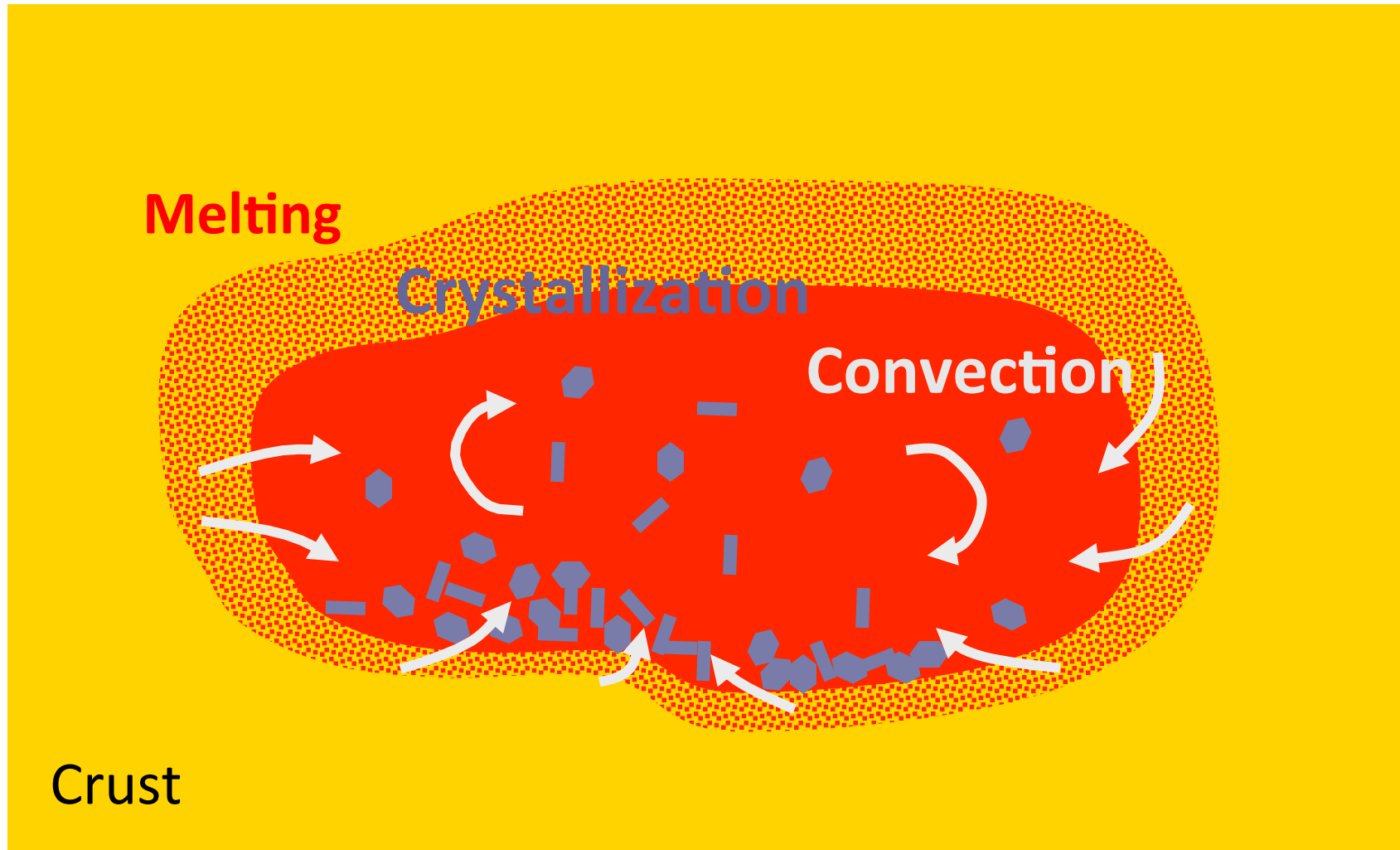
マグマ発生から火山まで



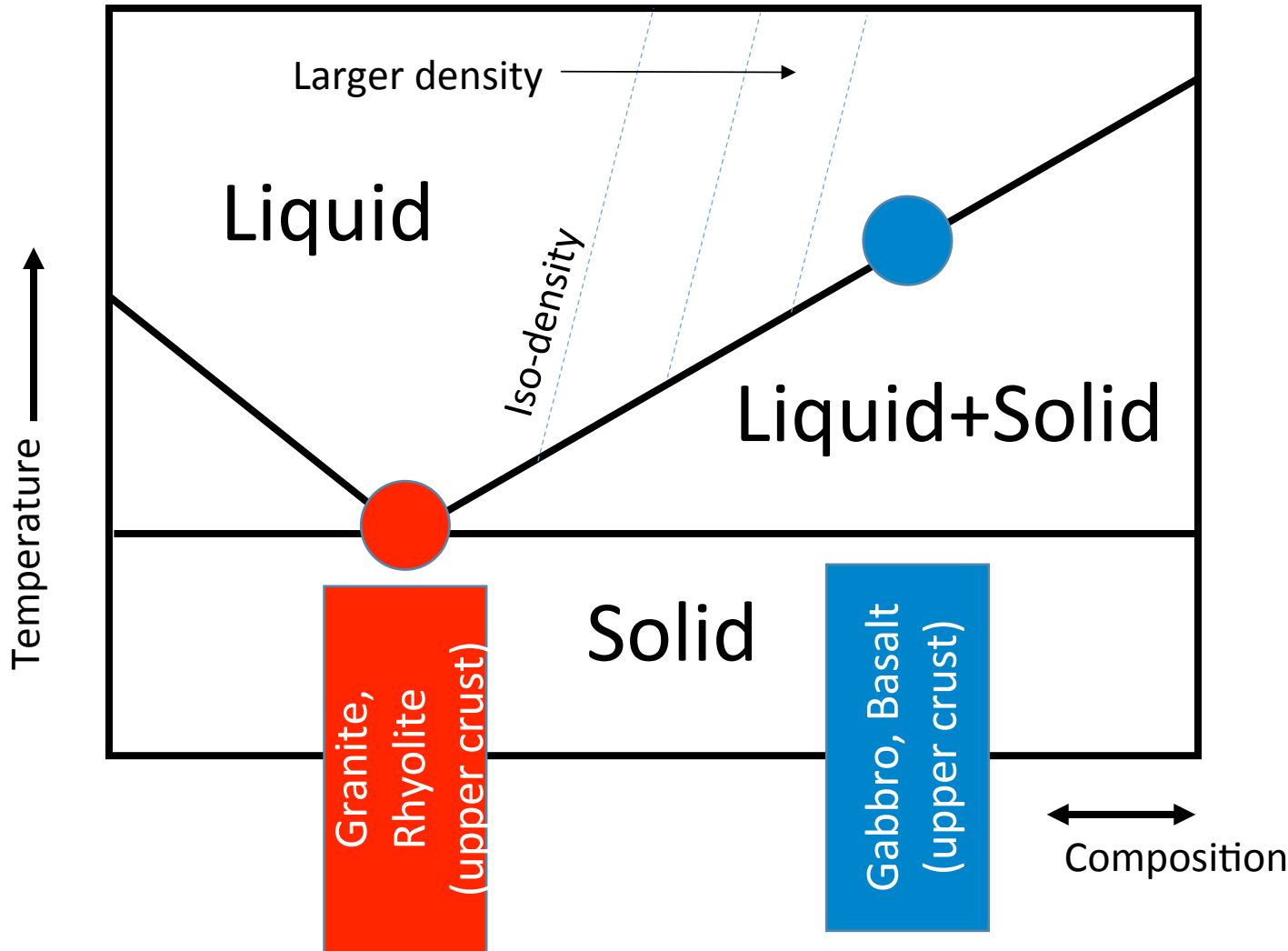
Whole-rock composition of Aso ejecta



AFC in magma chamber

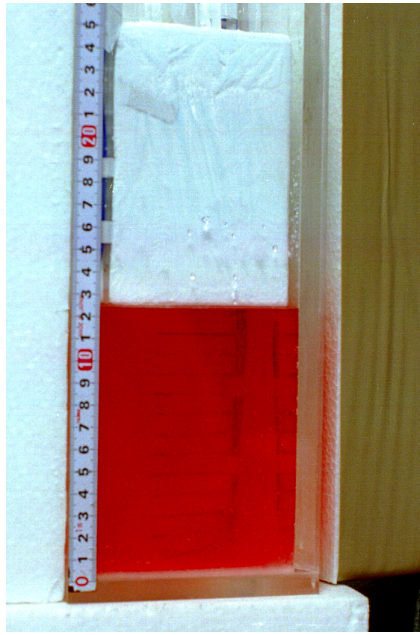


Schematic phase diagram of magma and crust

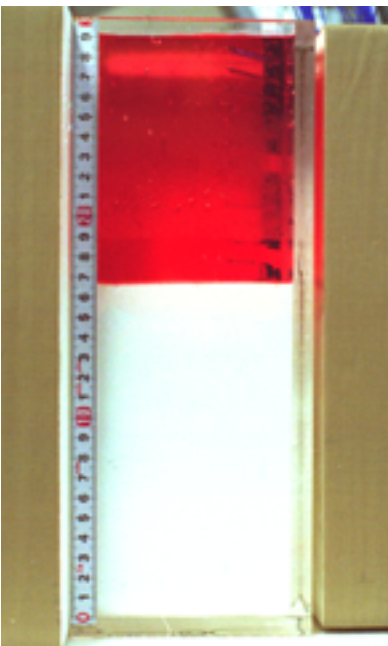


Photos of experiments ($t=0$)

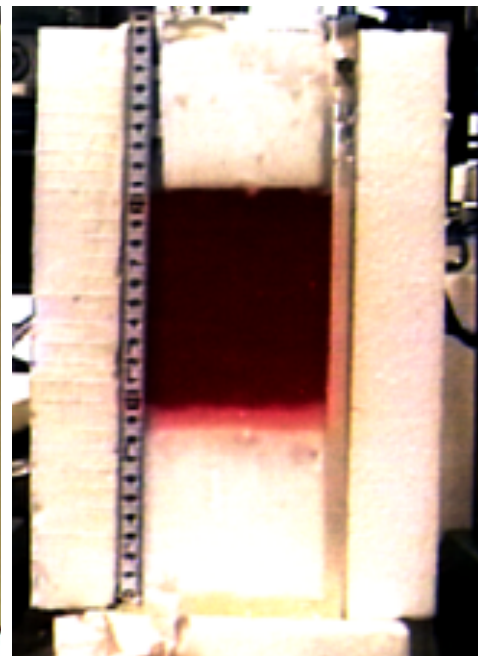
Roof



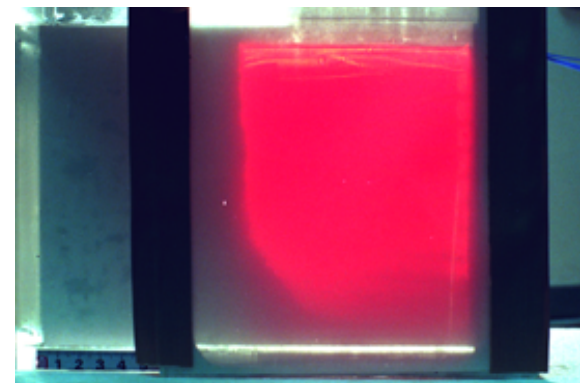
Floor



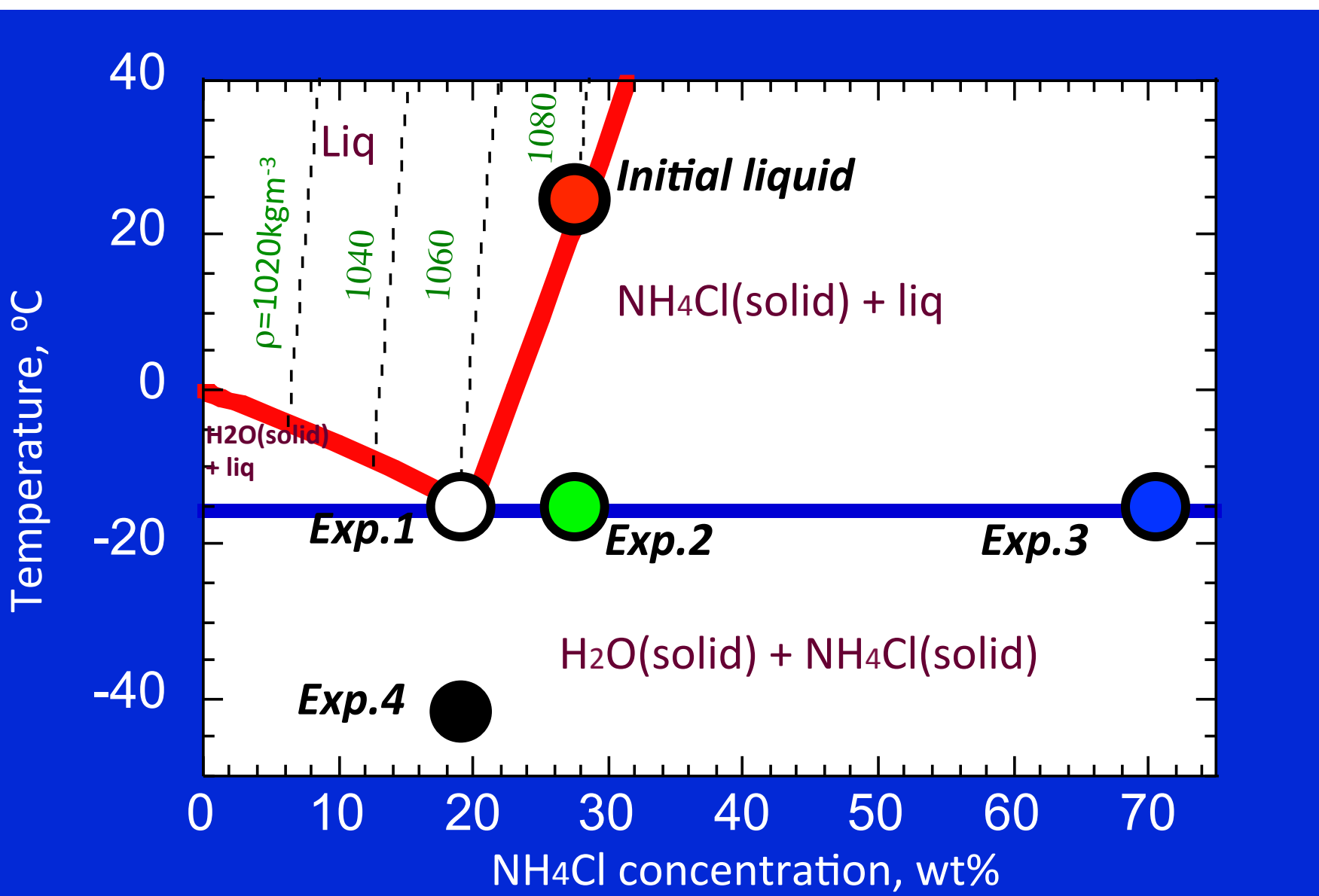
Roof & Floor



Side wall

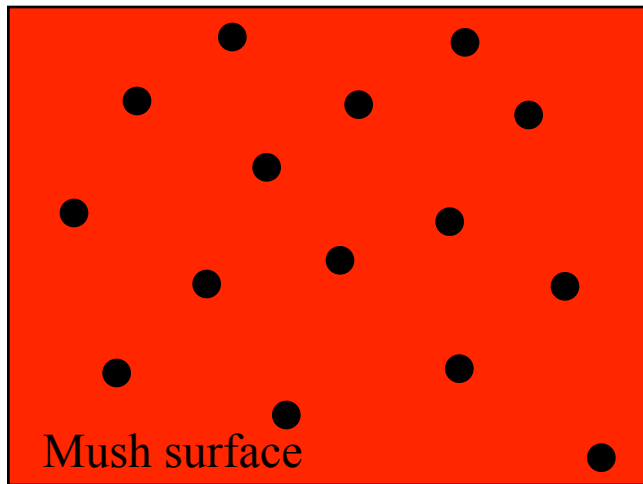


$\text{NH}_4\text{Cl}-\text{H}_2\text{O}$ System & Initial Conditions

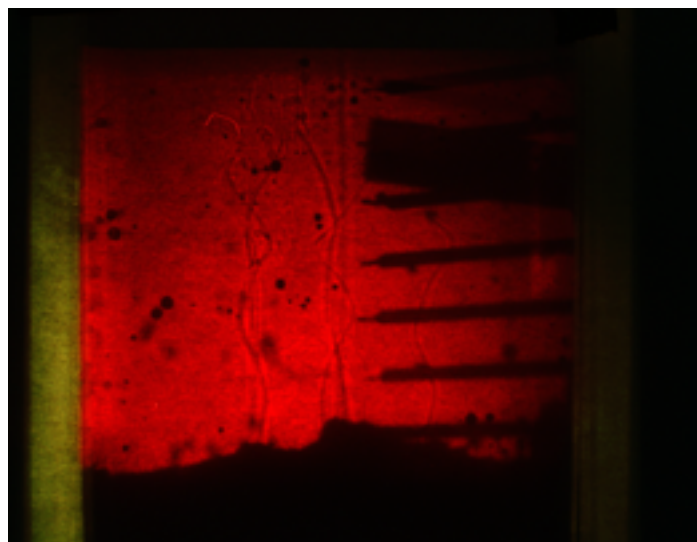
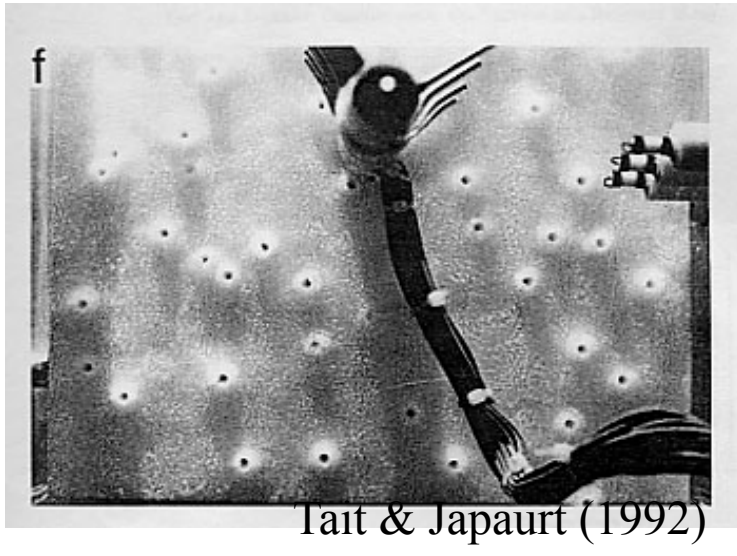
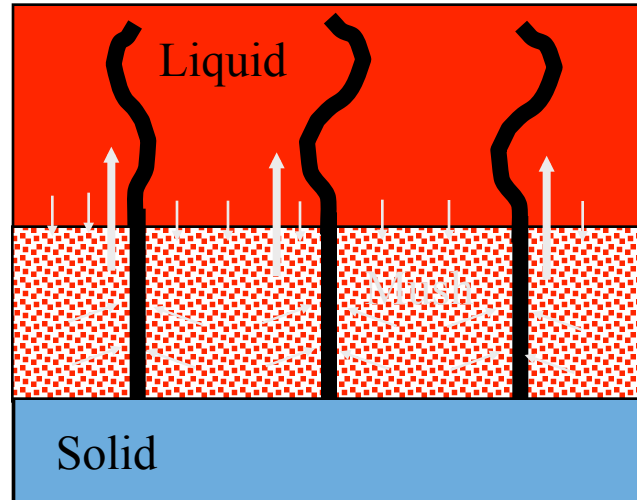


Chimney

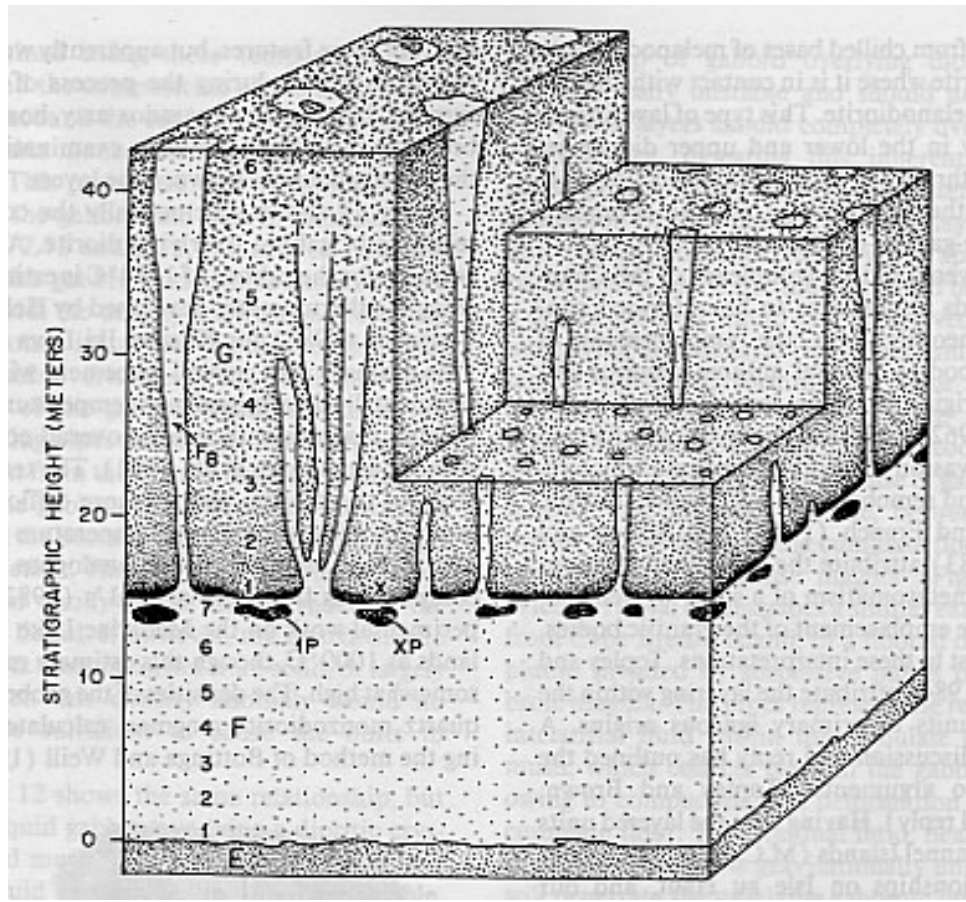
Top view



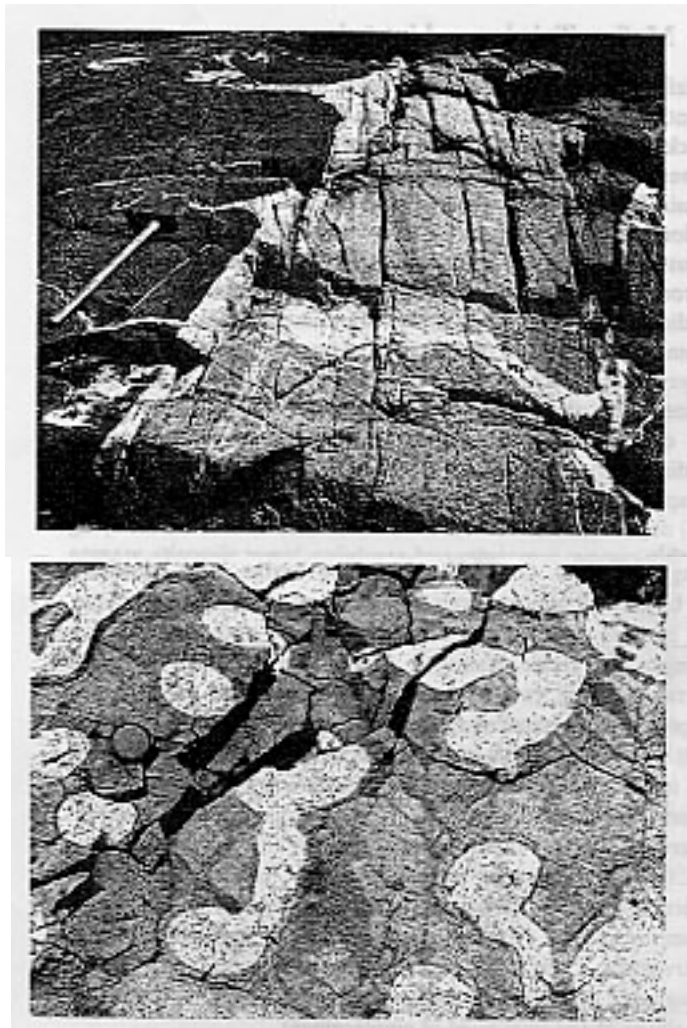
Side view



Field evidence of AFC at the floor

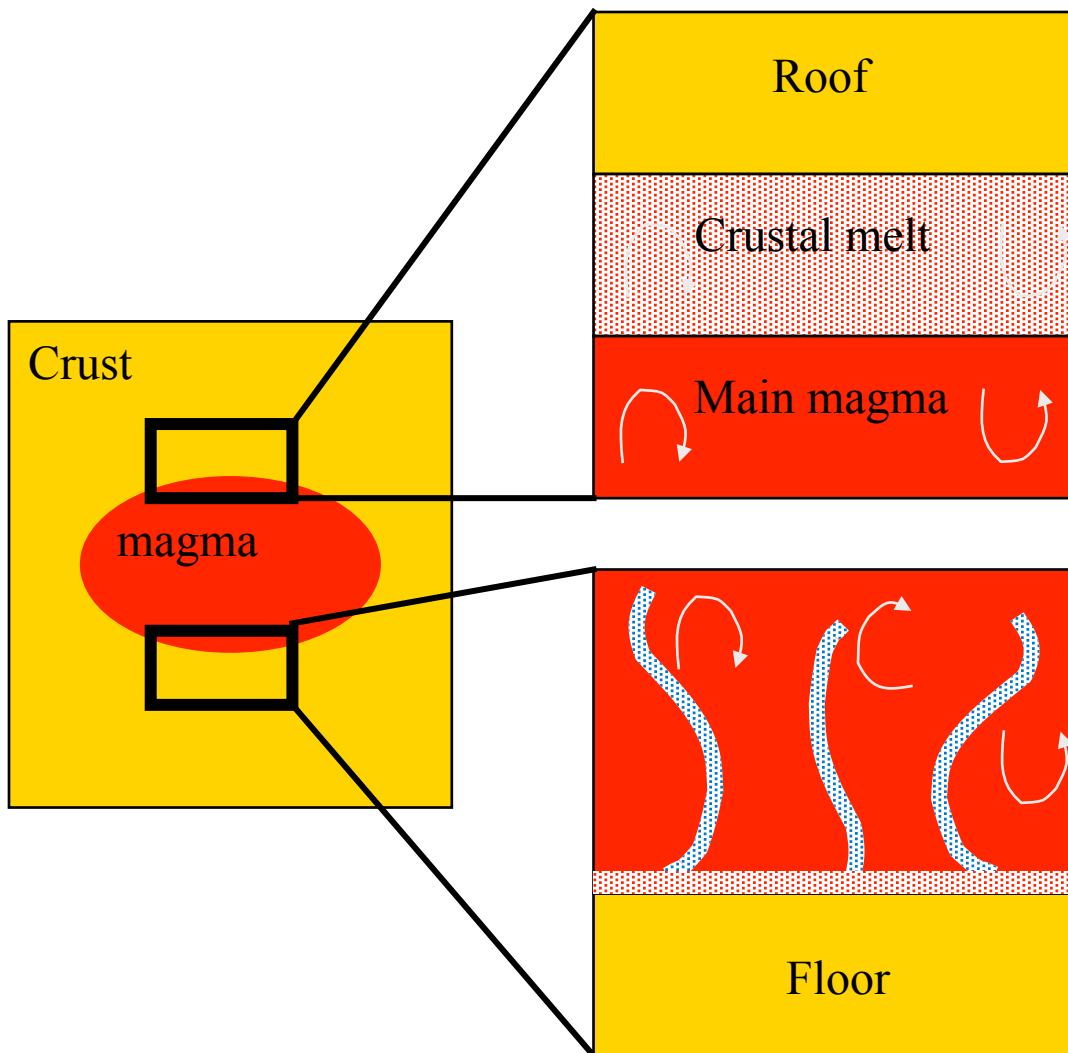


Chapman and Rhodes (1992)



Wiebe (1996)

Convection in the magma chamber



“Diffusive mode”

Separate layer
(cold and compositionally light)

Crustal melt does not
mix with magma.

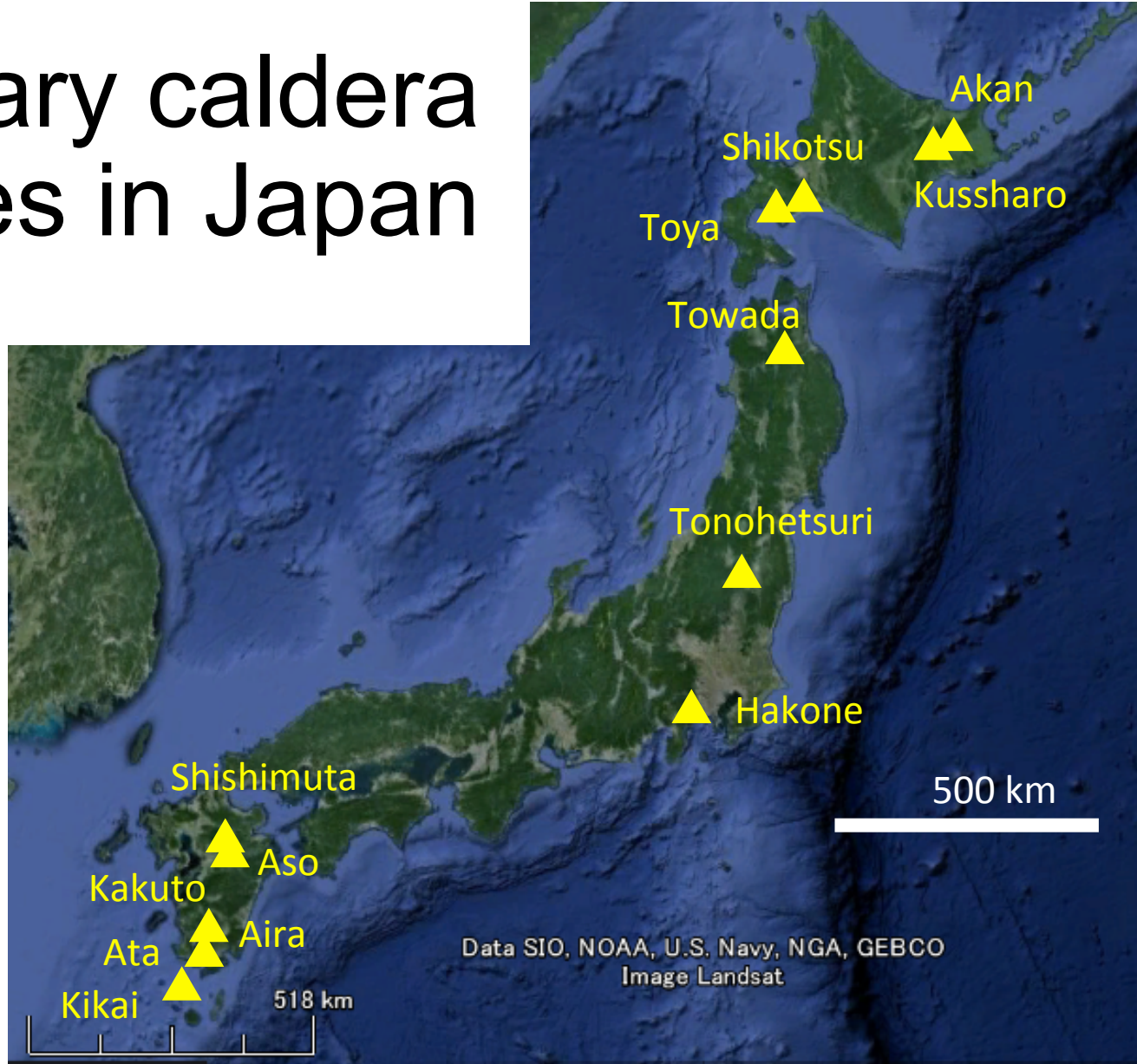
Crustal melt rises & mixes with
magma.

Compositional plume
(cold and compositionally light)

“Direct finger mode”

Quaternary caldera volcanoes in Japan

>100 km³-order





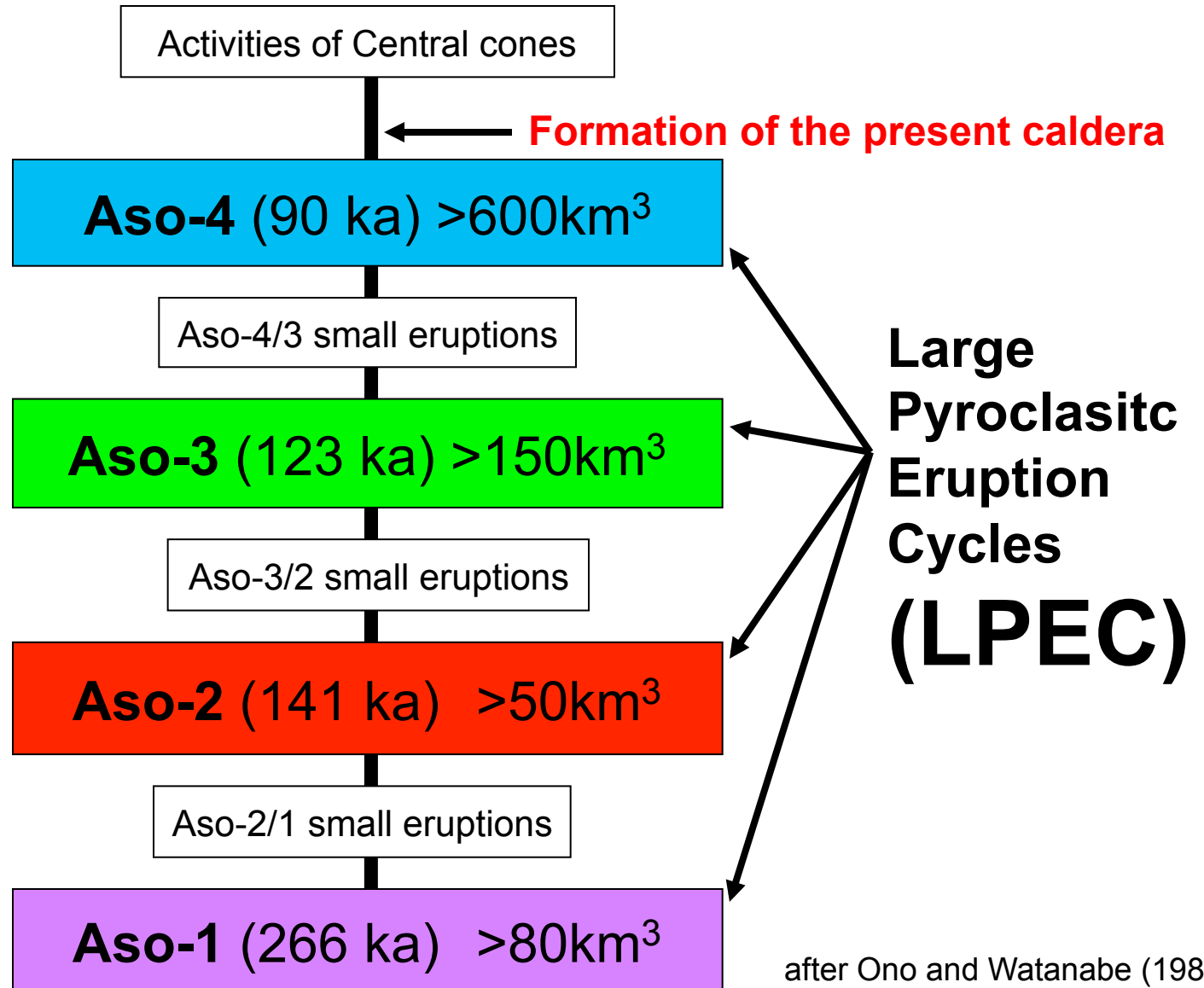
Central cones and caldera floor from caldera rim

3 towns and 45,000 people

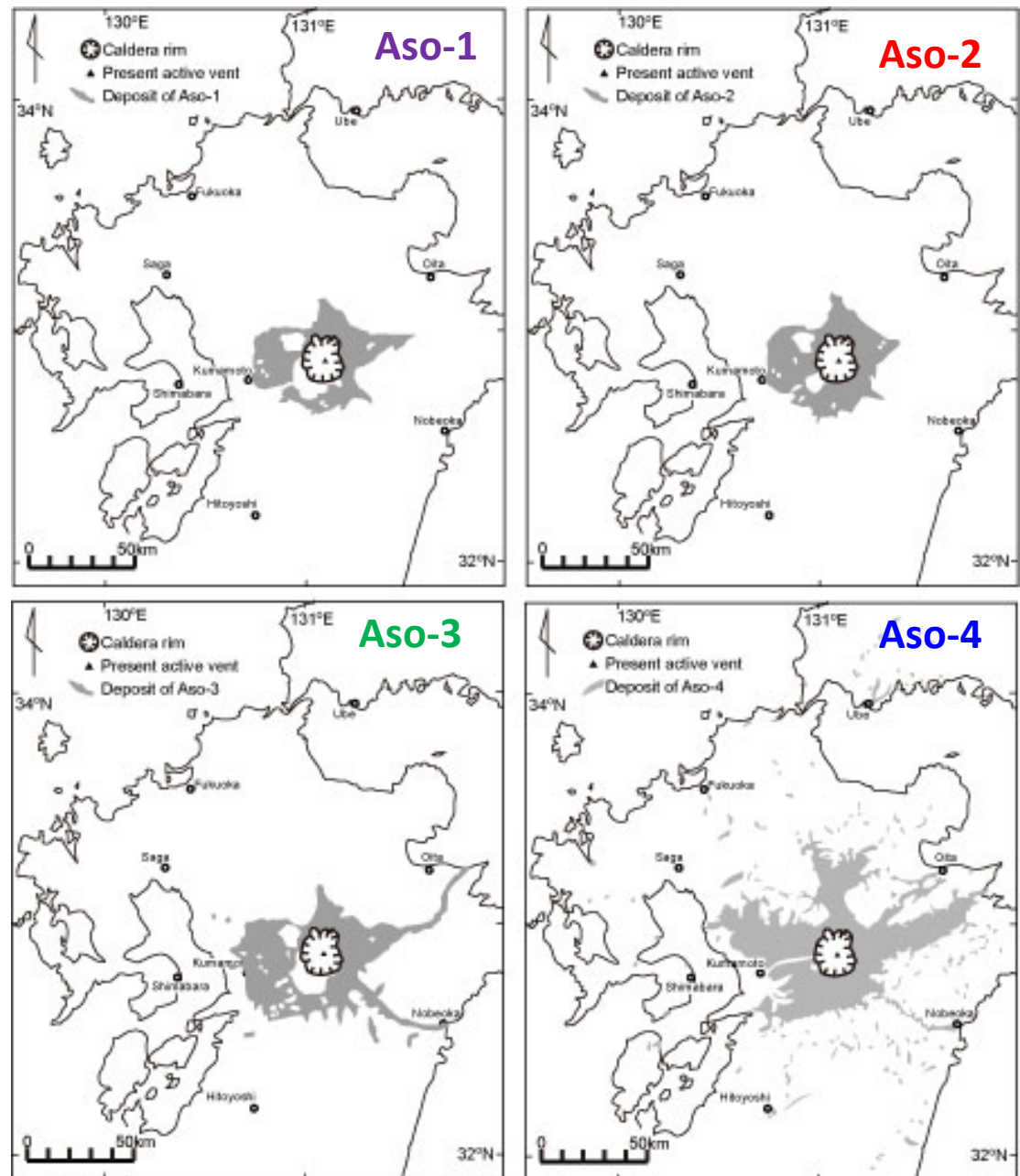
The active crater of Nakadake volcano



Volcanic history of Aso volcano



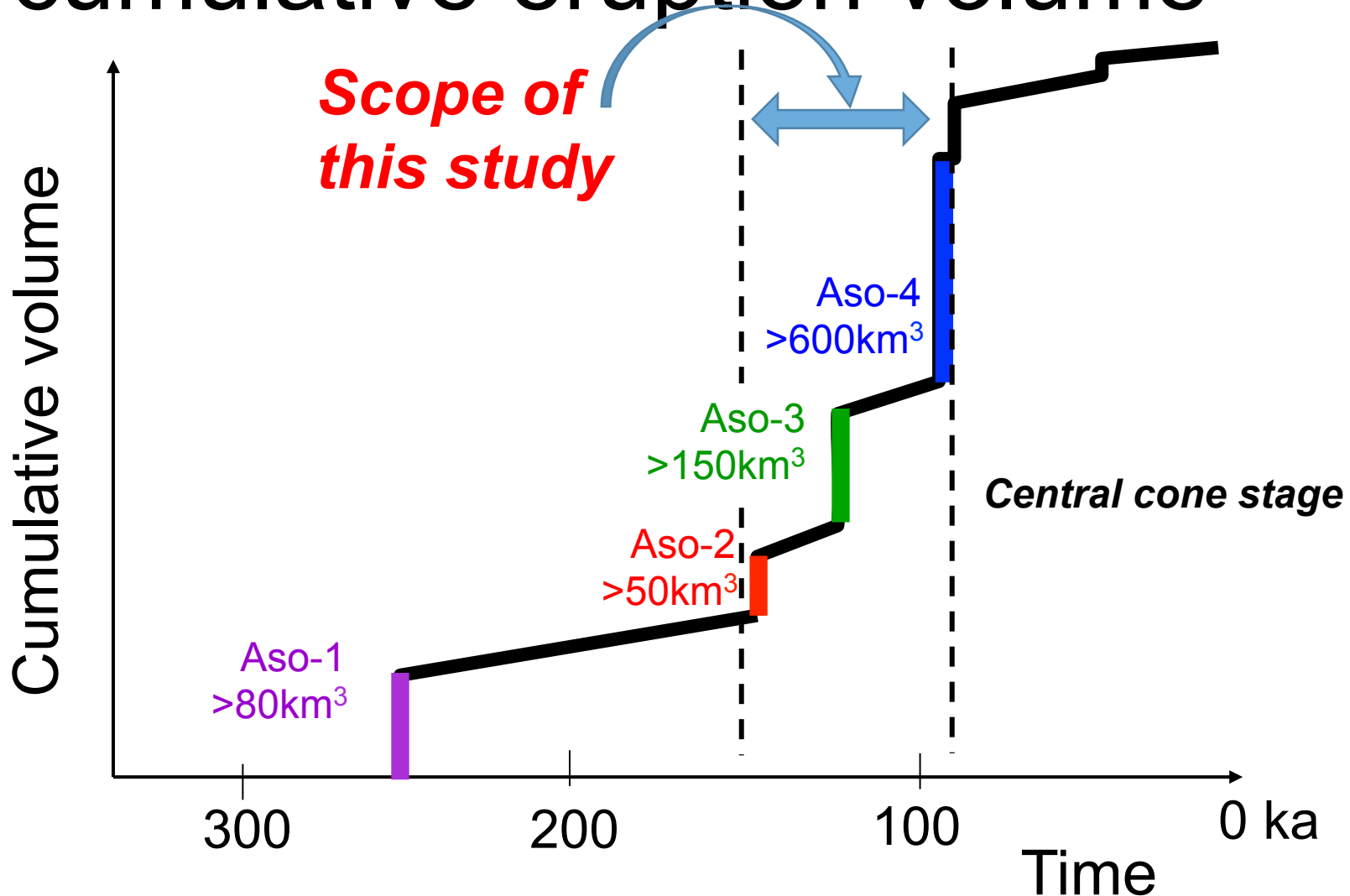
Deposit distributions of four large pyroclastic eruptions



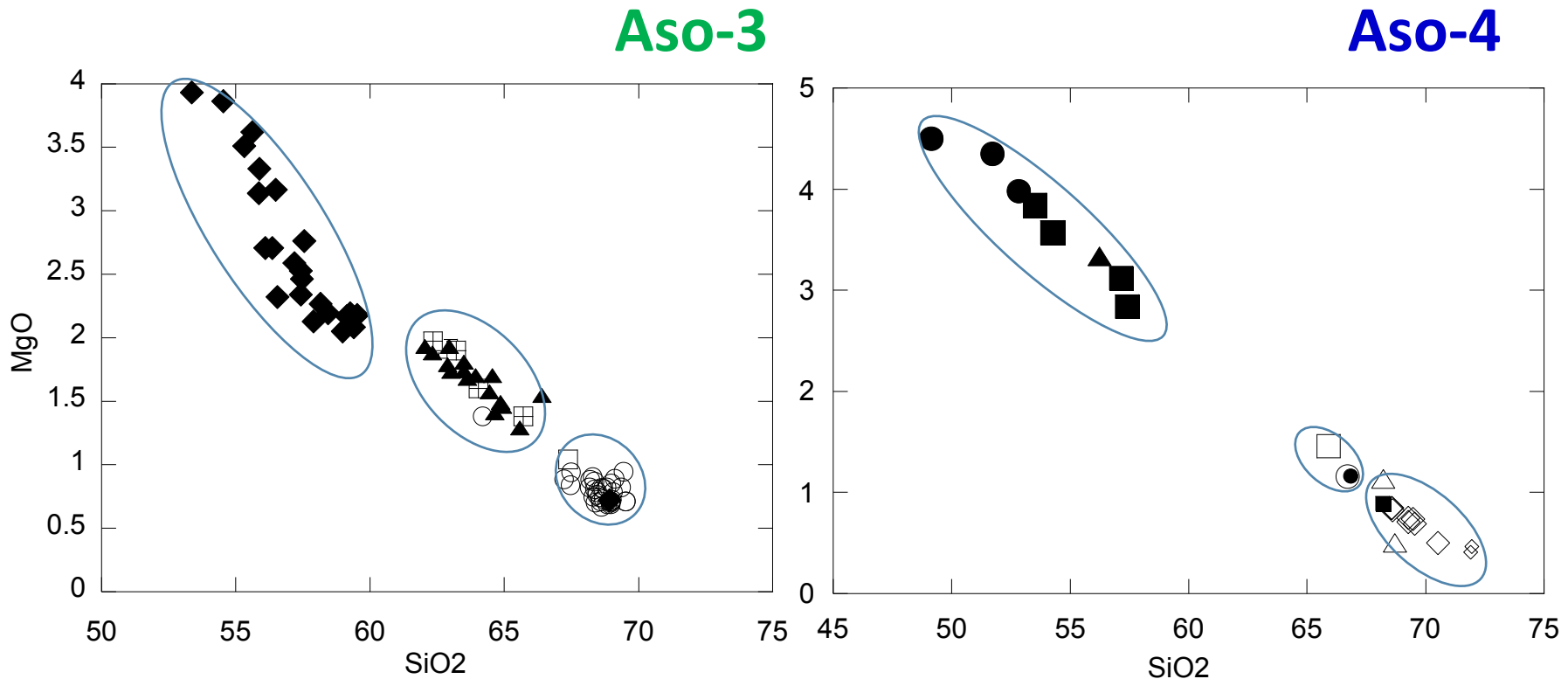
After Ono and Watanabe(1984)



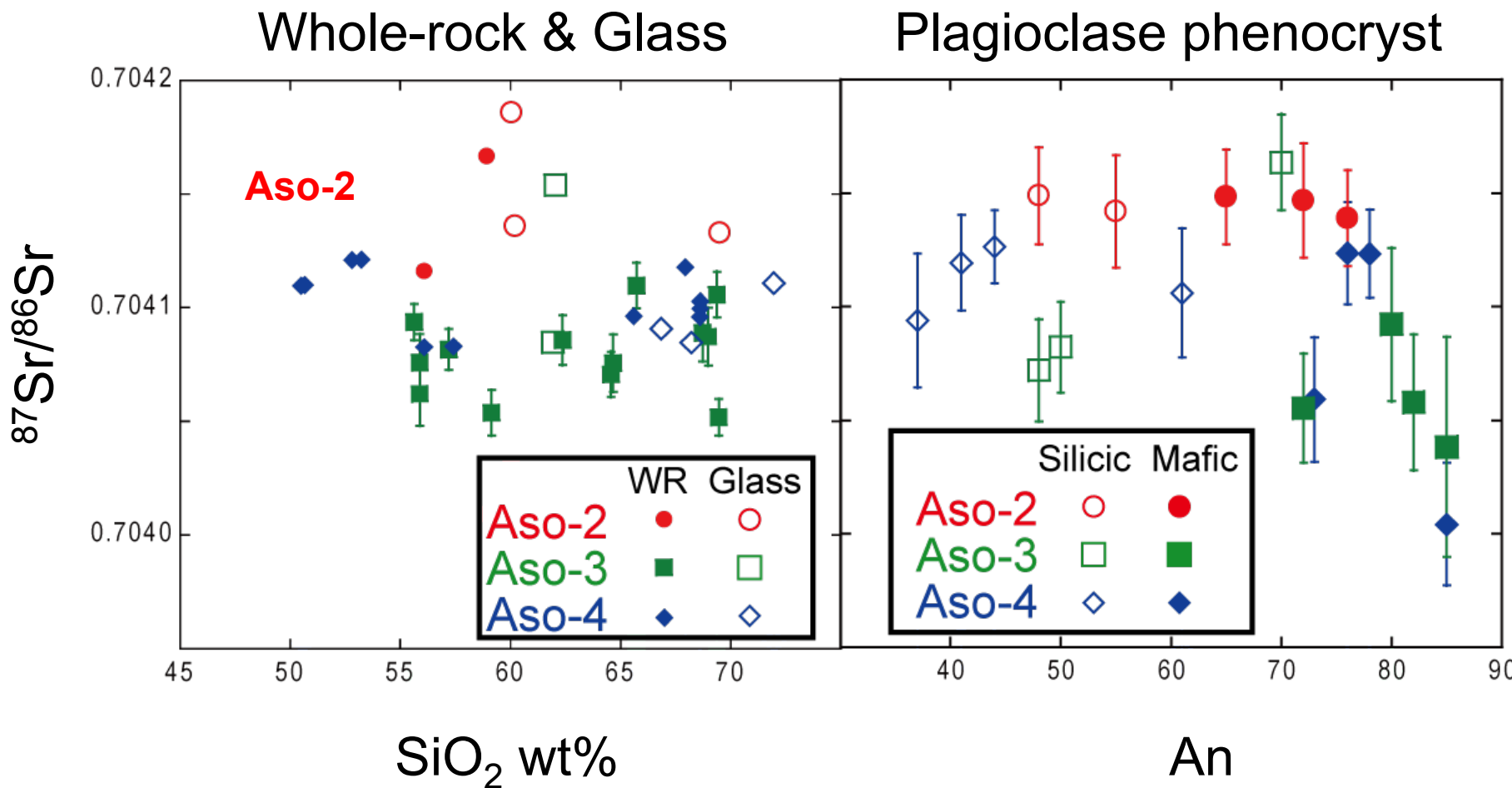
Schematic diagram of cumulative eruption volume



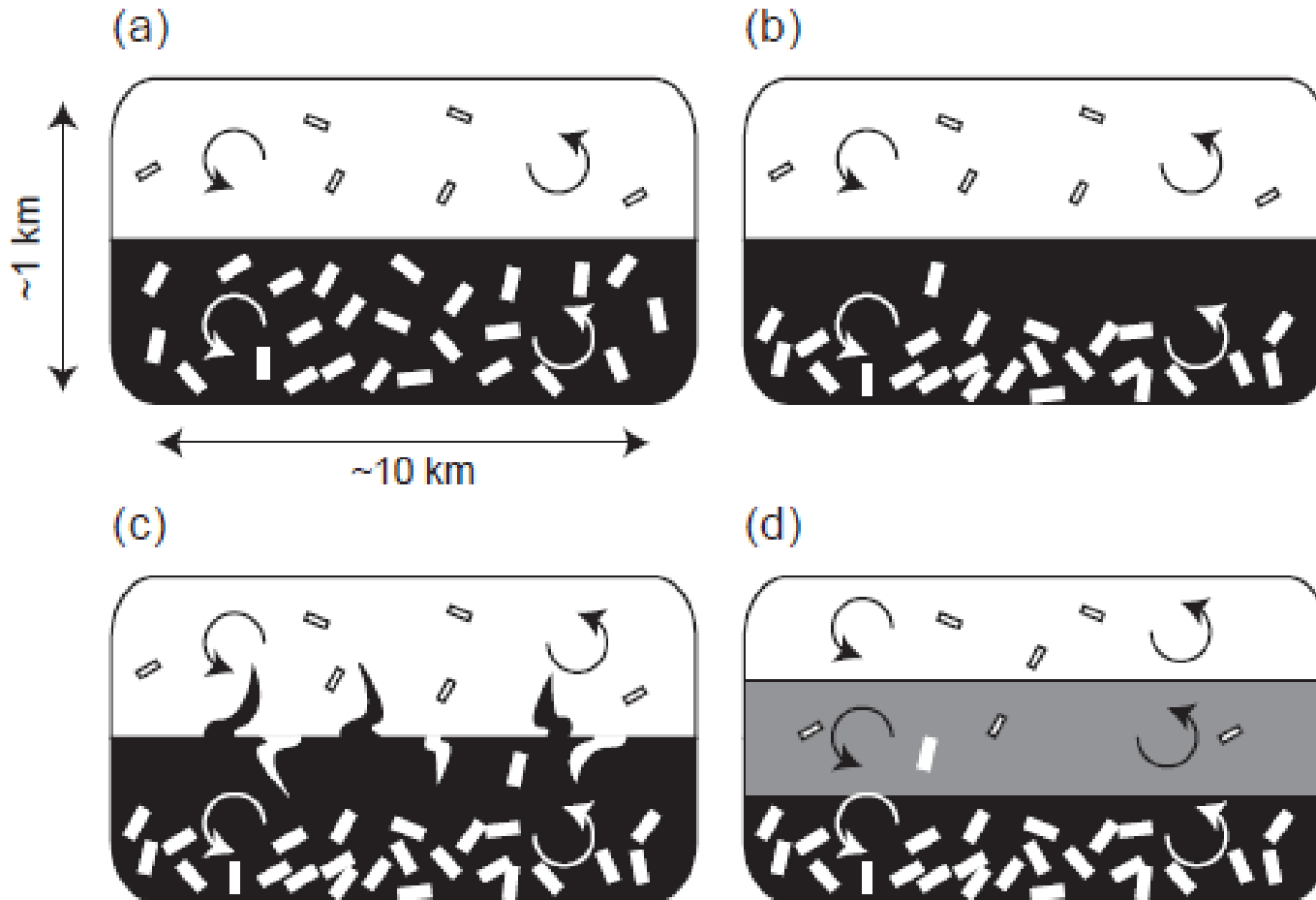
Whole-rock composition of Aso ejecta



$^{87}\text{Sr}/^{86}\text{Sr}$ (WR, Glass, PI)

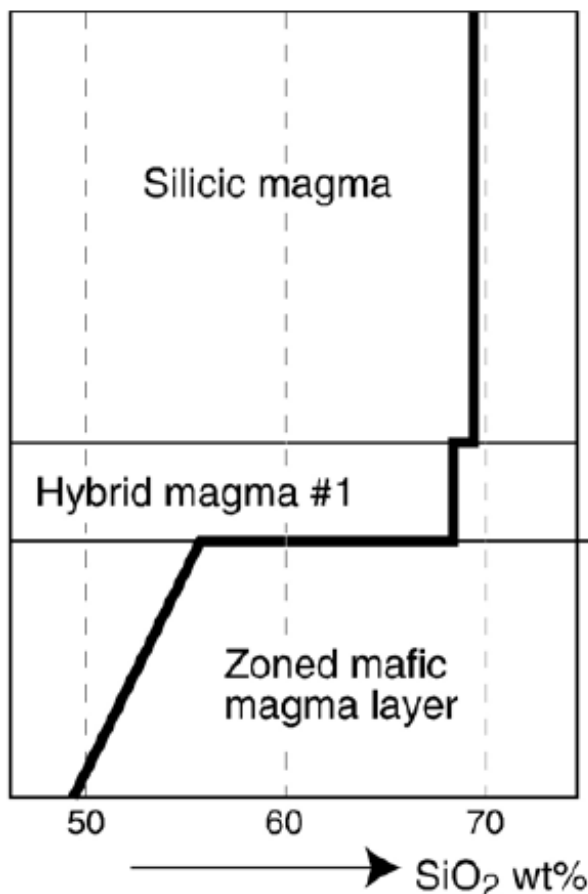


Magma chamber of the Aso-3 cycle

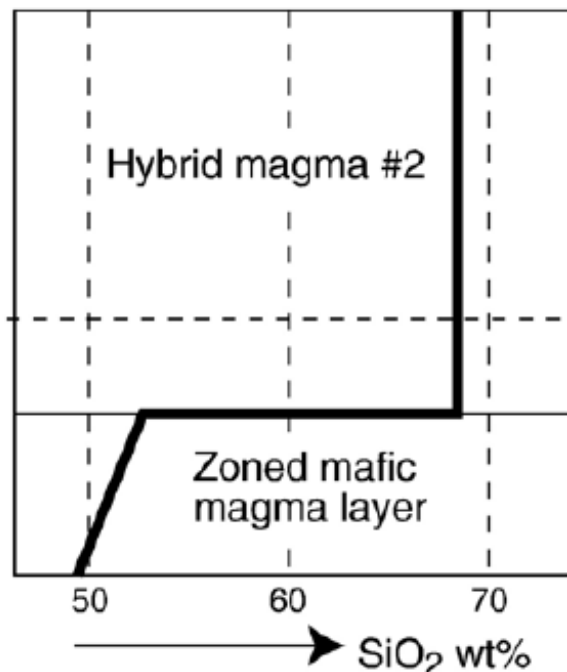


Magma chamber of the Aso-4 cycle

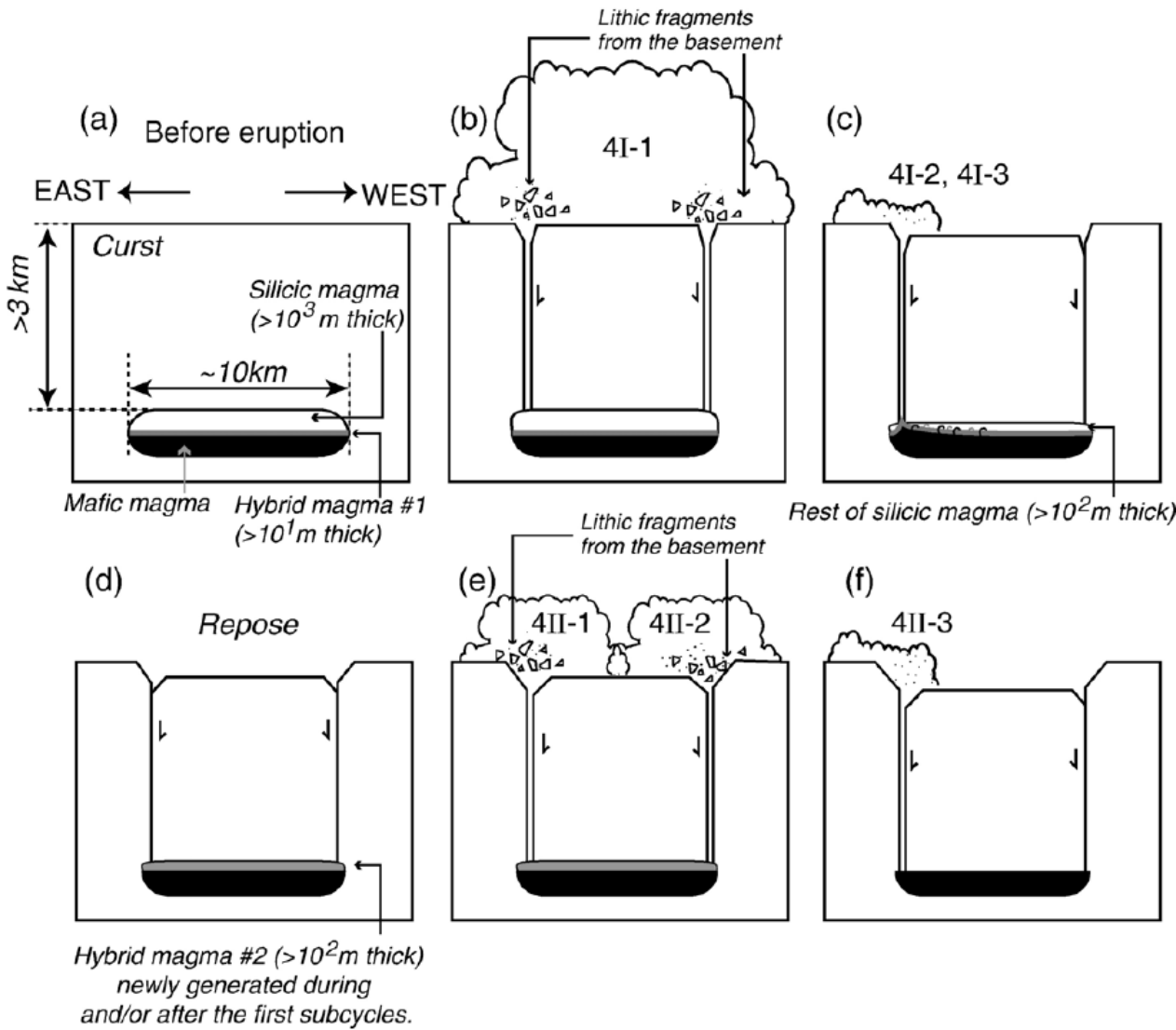
(a) Pre-eruptive magma chamber
of the Aso-4 cycle



(b) Magma chamber
before eruption of
the second subcycle



Eruption sequence of the Aso-4



まとめ

- ・マグマ溜りにおける対流現象では、熱的効果だけでなく、溶融・結晶化によるマグマ組成変化が重要
- ・マグマ溜りの上面、下面、側面で、異なる二重拡散対流効果
- ・阿蘇火山では、2層の成層マグマ溜りから、*interfacial mixing*により中間層が形成している。
- ・マグマ溜り初期条件・境界条件が正確にわからないこと、マグマの複雑な物性のため、予測性をもつたマグマ溜り過程の理解はできていない。